

O. В. СОБОЛЬ, д-р фіз.-мат. наук, проф., зав. каф., НТУ «ХПІ»;
A. О. АНДРЕЄВ, д-р техн. наук, провід. наук. співроб., ННЦ «ХФТІ», Харків;
I. В. СЕРДЮК, інженер-дослідник, ННЦ «ХФТІ», Харків;
B. Ф. ГОРБАНЬ, д-р техн. наук, провід. наук. співроб., Інститут проблем матеріалознавства НАН України, Київ;
H. В. ПІНЧУК, аспірант, НТУ «ХПІ»;
A. О. МЕЙЛЕХОВ, аспірант, НТУ «ХПІ»;
Є. О. ДУМА, студент, НТУ «ХПІ»;
Д. М. БАБЕЦ, студент, НТУ «ХПІ»

ВПЛИВ ТИСКУ РОБОЧОЇ АТМОСФЕРИ НА ФОРМУВАННЯ ВАКУУМНО-ДУГОВИХ ПОКРИТТІВ ZrN ТА (Zr-Ti-Ta-Hf-V-Nb)N

Методами рентгенівської тензометрії, електронної мікроскопії, в поєднанні з вимірюванням механічних характеристик мікроіндентуванням вивчено можливості структурної інженерії покриттів ZrN та (Zr-Ti-Ta-Hf-V-Nb)N шляхом впливу тиску робочої атмосфери при осадженні покриттів на їх структуру та властивості. Встановлені умови одержання, які призводять до формування надтвердих покриттів з твердістю понад 40 ГПа.

Ключові слова: нітрид цирконію, нітрид високоентропійного сплаву, вакуумно – дуговий випар, покриття, структура, субструктура, мікротвердість.

Вступ. Основне призначення зносостійкого покриття на лезовому інструменті – це збільшення продуктивності матеріалу основи за рахунок можливості роботи з високими швидкостями різання і подачами. Для того щоб отримати покриття з необхідними властивостями, важливим є розуміння можливості структурної інженерії шляхом варіювання параметрів при осадженні [1–5].

Мета роботи. Метою даної роботи було проаналізувати можливості структурної інженерії покриттів одно- та багатоелементних по металевим складовим нітридів на основі Zr, отриманих при різному тиску робочої атмосфери.

Умови отримання та дослідження покриттів. Зразки були отримані при використанні модернізованої вакуумно-дугової установки «Булат-6», яка була додатково забезпечена генератором високовольтних імпульсів [6 – 8]. При нанесенні на підкладки з нержавіючої сталі 12Х18Н9Т з розмірами 20x20x3 мм і мідної фольги товщиною 0,2 мм подавали від'ємний потенціал зміщення величиною U_b від 27 В до 300 В.

Фазовий склад і структурний стан покриттів досліджувався методом рентгенівської дифракції на дифрактометрі ДРОН-4 у випромінюванні Cu-K α . Для розшифровки дифрактограм використовувалася база дифракційних даних JCPDS. Розмір кристалітів визначався по розширенню перших дифракційних ліній (для найменшого впливу мікродеформації) знятих при найменшому кроці сканування 0,02 град. із співвідношення Селякова-Шеррера [9]. Мікроіндентування проводили на установці «Мікрон-гамма» [10] при кімнатній температурі (навантаження в межах до 0,5 Н) алмазною пірамідою Берковича.

Результати дослідження та їх обговорення. Структура, субструктурата та твердість ZrN покріттів. Як свідчать одержані рентгенодифракційні спектри (рис. 1, а) при тиску $5 \cdot 10^{-4}$ Торр та вище формується однофазний стан ZrN з кубічною решіткою типу NaCl (JCPDS 35-0753) з переважною орієнтацією кристалітів (текстурою) [111]+[311] при $P_N = 5 \cdot 10^{-4}$ Торр (бітекстурний стан) та текстурою [111] при більш високому тиску. Ступінь текстурованості [111] з ростом тиску дещо збільшується (відносна інтенсивність текстурних піків посилюється відносно інших площин).

Повне дослідження покріттів включає в себе визначення механічних характеристик, а саме зміну твердості.

На рис. 1 (б) приведена залежність зміни твердості від тиску, з якої видно, що в кореляції зі структурними даними залежність твердості від тиску можна розділити на дві характерні ділянки. Перша ділянка до $8 \cdot 10^{-4}$ Торр з неперервним ростом твердості зі збільшенням тиску, що можна пов'язати з насиченням при цьому зв'язків азотними атомами в умовах формування бітекстурного стану, на якому твердість зростає до 42 ГПа і друга – на котрій при більшому тиску твердість залишається практично постійною на рівні 37-38 ГПа.

Аналіз

субструктурних характеристик приведений на рис. 2 показав, що при низькому тиску, коли відбувається

формування стану

твердого розчину Zr(N), нижчого нітриду цирконію або нітриду цирконію з кубічною решіткою та біаксимальною текстурою (тобто до тиску $1 \cdot 10^{-3}$ Торр) спостерігається загальна тенденція зменшення мікродеформації (рис. 2, а) та розміру кристалітів (рис. 2, б) з ростом тиску. Це може бути зумовлене зменшенням середньої енергії часток в наслідок зменшення довжини вільного пробігу часток. Збільшення тиску в цій області значень (тобто до тиску $1 \cdot 10^{-3}$ Торр) призводить до збільшення кількості місць утворювання, отже призводить к зменшенню середнього розміру кристалітів при їх планарному заповненні з утворенням суцільної плівки (рис. 2, б). Це пояснюється невисоким ступенем хімічної взаємодії в процесі осадження без додаткової імпульсної стимуляції.

Друга ділянка при тисках більше $1 \cdot 10^{-3}$ Торр характеризується виходом залежності мікродеформації на практично постійний рівень 0,50–0,55 % і значне зростання розміру кристалітів у напрямку падіння плівкоутворюючих часток. При більшому тиску, коли відбувається формування текстури з переважною орієнтацією [111] ступінь досконалості, якої зі збільшенням тиску підвищується,

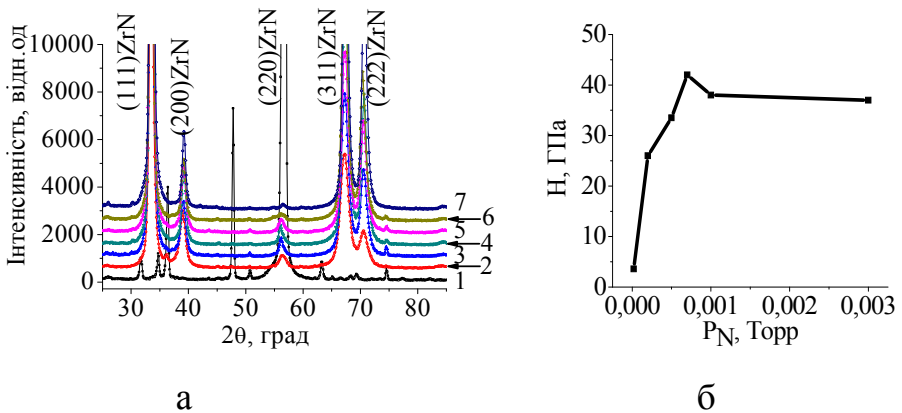
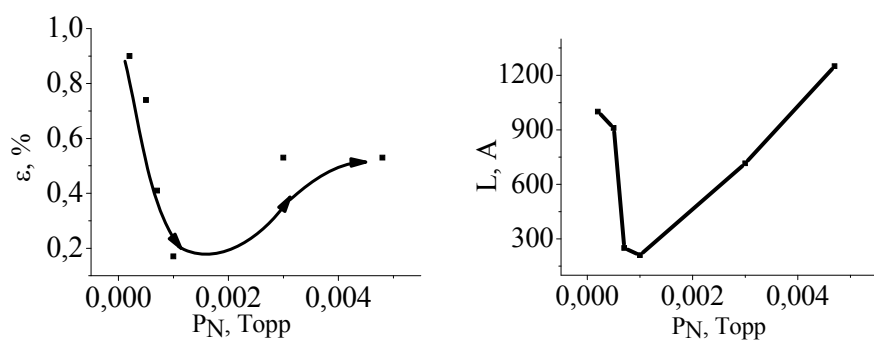


Рис. 1 – Ділянки рентгенограм та механічні властивості покріттів ZrN, отриманих при постійному від'ємному потенціалі -150 В і різному тиску азотної атмосфери (P_N), Торр: 1 – $2 \cdot 10^{-5}$; 2 – $2 \cdot 10^{-4}$; 3 – $5 \cdot 10^{-4}$; 4 – $7 \cdot 10^{-4}$; 5 – $1 \cdot 10^{-3}$; 6 – $3 \cdot 10^{-3}$; 7 – $4,8 \cdot 10^{-3}$; а – дифракційні спектри, б – твердість

величина середнього розміру кристалітів підвищується. Хід залежностей субструктурних характеристик, що спостерігається при великому тиску, можна пов'язати з повним насиченням покриття, що формується, атомами азоту до стехіометричного та сверхстехіометричного складу. Останнє визначає досягнення постійного значення мікродеформації решітки та підвищення стійкості більш великих розмірів кристалітів.



а

б

Рис. 2 – Залежність субструктурних характеристик покриттів ZrN від тиску робочої атмосфери, при отриманні покриттів у без імпульсному режимі, при $U_b = -150$ В: а – мікродеформація, б – розмір кристалітів

Структура, субструктура та твердість високоентропійних сплавів (TiVZrNbHfTa)N. Для нітриду шестиелементного сплаву, отриманого в умовах $U_b = -200$ В (рис. 3) відзначимо формування при низькому тиску текстури (311) – досить стійкої до радіаційного впливу. Ця текстура зберігається до відносно високого тиску $2 \cdot 10^{-3}$ Торр. При більшому тиску відбувається формування бітекстурного стану з основною текстурою росту (111) – рис. 3 (спектр 5). Однак ступінь досконалості такої текстури невеликий, що можна пов'язати з розорієнтовною дією різних за розміром атомів складових шестиелементного нітриду.

Результати аналізу субструктурних характеристик, проведеного для покриттів, наведені на рис. 4.

Видно, що зі збільшенням тиску підвищується середній розмір кристалітів (рис. 4, а) і зменшуються мікродеформації (рис. 4, б). Причому збільшення розміру кристалітів більш виражене при меншому потенціалі -70 В, а зниження мікродеформації сильніше виявляється при потенціалі -200 В.

Отримані методом динамічного індентування фізико-механічні характеристики покриттів (модуль пружності (E) і мікротвердість (H)) залежно від тиску узагальнені на рис. 5.

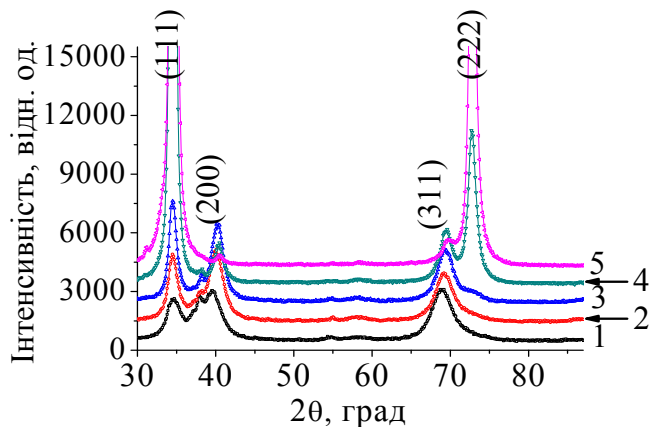


Рис. 3 – Ділянки дифракційних спектрів нітридних покриттів шестиелементного високоентропійного сплаву, отриманих при $U_b = -200$ В і при тиску азотної атмосфери (p(N)) Торр: 1 – $2.5 \cdot 10^{-4}$, 2 – $5 \cdot 10^{-4}$, 3 – $7 \cdot 10^{-4}$, 4 – $2 \cdot 10^{-3}$, 5 – $4.5 \cdot 10^{-3}$

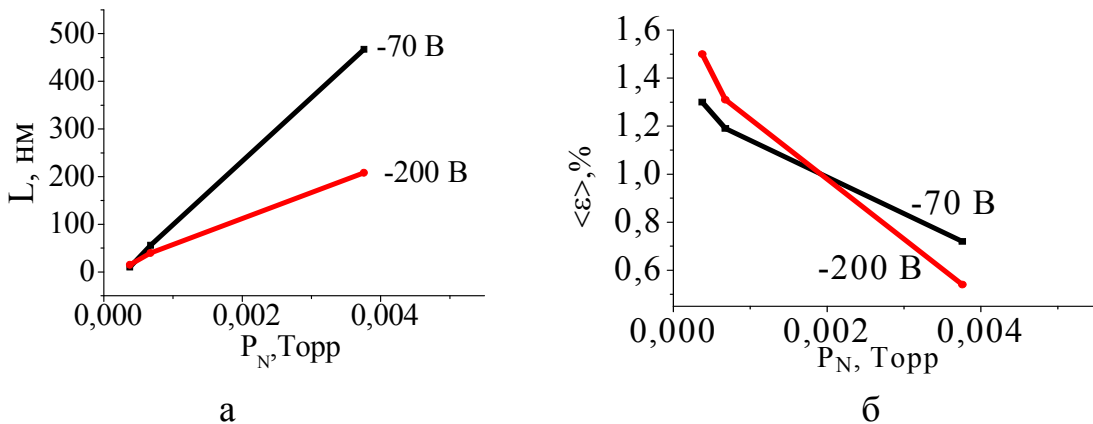


Рис. 4 – Залежність субструктурних характеристик покріттів $(\text{TiVZrNbHfTa})\text{N}$ від PN: а – розмір кристалітів, б – мікродеформація

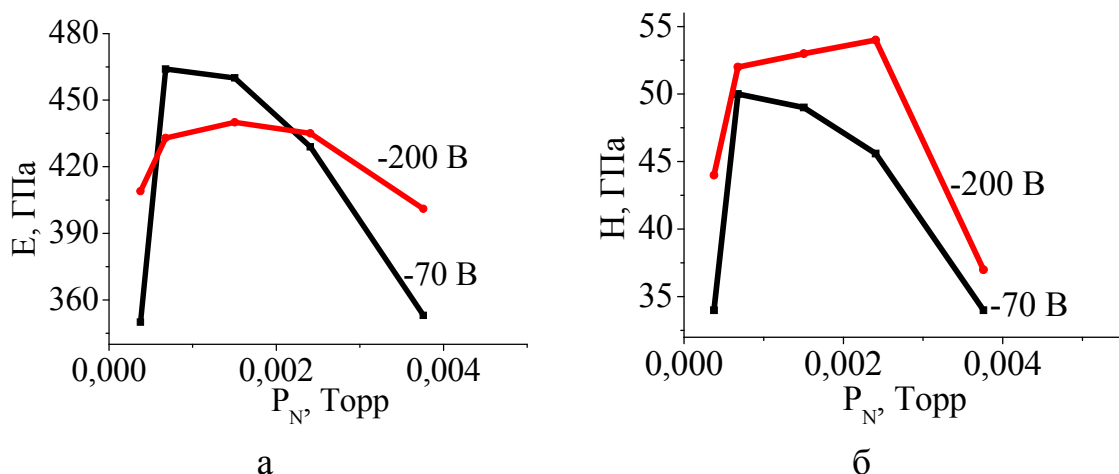


Рис. 5 – Фізико-механічні характеристики покріттів $(\text{TiVZrNbHfTa})\text{N}$ в залежності від тиску: а – модуль пружності (E), б – мікротвердість (H)

Найбільші значення даних характеристик отримані для порівняно невисокого тиску $0,09$ Па ($7 \cdot 10^{-4}$ Торр). Як відомо, для нітриду титану саме присутність 10–15 % вільних (не зайнятих азотом) октаедричних міжузлів забезпечує найвищу твердість, в результаті процесу впорядкування і утворення стійких Me-N зв'язків.

Висновки

- Методом вакуумно-дугового осадження були отримані однофазні покриття ZrN з кристалічною ГЦК решіткою.
- З ростом тиску від $1 \cdot 10^{-4}$ до $3 \cdot 10^{-3}$ Торр та за умов від'ємного потенціалу зсуву -150 В спостерігаємо появу бітекстурного стану [111] + [311] та текстуру росту [111] при більш високому тиску.
- Твердість зростає зі збільшенням тиску та досягає при тиску $5 \cdot 10^{-4}$ Торр значення 42 ГПа. Таке збільшення твердості, можна пов'язати з насиченням при цьому зв'язків азотними атомами в умовах підвищення тиску азоту при осадженні та з формуванням бітекстурного стану.
- Встановлено, що багатоелементні покриття, на основі твердого розчину (Zr, Hf, Nb, Ti, V), осаджені в азотній атмосфері є однофазними з фазою на основі кубічної ГЦК решітки (структурний тип NaCl).

5. Використання багатоелементного складу при однофазному стані з простою кубічної решіткою дозволяє досягти високих значень мікродеформації (до 1,2%) при низькому тиску осадження.

6. При тиску азотної атмосфери ($6,7 \cdot 10^{-4} \dots 15 \cdot 10^{-4}$) Торр формуються наноструктурні покриття з надвисокою твердістю, які відповідають складу $\text{MeN}_{0.9}$. Найбільша твердість 54 ГПа властива покриттям з розміром кристалітів близьким до 50 нм при формуванні двохвісного текстуркованого стану (111) + (311).

Список літератури: 1. Азаренков Н. А. Материаловедение неравновесного состояния модифицированной поверхности [Текст] / Н. А. Азаренков, О. В. Соболь, В. М. Береснев, А. Д. Погребняк, С. В. Литовченко, О. Н. Иванов // Сумы: Сумський національний університет. – 2012. – С. 683. 2. Nanostructured coatings [Text] / Cavaleiro A. and D. de Hossona. - M.: Техносфера. – 2011. – С. 792. 3. Hua, M. Tribological behaviours of patterned PVD TiN spot coatings on M2 steel coated with different bias voltages [Text] / M. Hua, H. Y. Maa, J. Li, C. K. Mok // Surf. Coat. Technol. – 2006. PP. – 3612–3625. 4. Sobol', O. V. Vacuum-arc multilayer nanostructured TiN-Ti coatings: structure, stress state, properties [Text] / O. V. Sobol', A. A. Andreev, S. N. Grigoriev, M. A. Volosova, V. F. Gorban' // Metal Science and Heat Treatment. – Vol. 54. – Nos. 1 – 2. – May 2012. – P. 28–33. 5. Sobol', O. V. Reproducibility of the single-phase structural state of the multielement high-entropy Ti–V–Zr–Hf system and related superhard nitrides formed by the vacuum-arc method [Text] / O. V. Sobol', A. A. Andreev, V. F. Gorban', N. A. Krapivka, V. A. Stolbovoi, I. V. Serdyuk, V. E. Fil'chikov // Technical Physics Letters. – 2012. – Vol. 38. – No. 7. – P. 616–619. 6. Sobol', O. V. Effect of high-voltage pulses on the structure and properties of titanium nitride vacuum-arc coatings [Text] / O. V. Sobol', A. A. Andreev, S. N. Grigoriev, V. F. Gorban', M. A. Volosova, S. V. Aleshin, V. A. Stolbovoi // Metal Science and Heat Treatment July 2012, Vol. 54, Issue 3-4, PP. 195–203. 7. Соболь, О. В. Механические характеристики, структура и напряженное состояние вакуумно-дуговых TiN-покрытий, осажденных при подаче на подложку высоковольтных импульсов в процессе осаждения [Текст] / О. В. Соболь, А. А. Андреев, С. Н. Григорьев, В. Ф. Горбань, М. А. Волосова, С. В. Алешин, В. А. Столбовой // Вопросы атомной науки и техники Сер.: Физика радиационных повреждений и радиационное материаловедение. – 2011. – №4 (98). – С. 174–177. 8. Андреев, А. А. Вакуумно-дуговые покрытия [Текст] / А. А. Андреев, Л. П. Саблев, С. Н. Григорьев // – Харьков: ННЦ ХФТИ, 2010. – С. 317. 9. Палатник, Л. С. Механизм образования и субструктура конденсированных пленок [Текст] / Л. С. Палатник, М. Я. Фукс, В. М. Косевич. М.: Наука. – 1972. – С. 320. 10. Фирстов, С. А. Упрочнение и механические свойства литых высокоэнтропийных сплавов [Текст] / С. А. Фирстов, В. Ф. Горбань, Н. А. Крапивка, Э. П. Печковский // Композиты и наноструктуры. – 2011. – № 2. – С. 5 – 20.

Bibliography (transliterated): 1. Azarenkov, N. A., Sobol', O. V., Beresnev, V. M., Pogrebnyak, A. D., Lytovchenko, S. V., Ivanov, O. N. (2012). Materials Science nonequilibrium state modified surface., 683. 2. Nanostructured coatings (2011). Ed. Cavaleiro A. and D. de Hossona, 792. 3. Hua, M., Maa, H. Y., Li, J., Mok, C. K. (2006). Tribological behaviours of patterned PVD TiN spot coatings on M2 steel coated with different bias voltages. Surf. Coat. Technol, 3612–3625. 4. Sobol', O. V., Andreev, A. A., Grigoriev, S. N., Volosova, M. A., Gorban', V. F.(2012). Vacuum-arc multilayer nanostructured TiN-Ti coatings: structure, stress state, properties. Metal Science and Heat Treatment, Vol. 54, 1 – 2, 28–33. 5. Sobol', O. V., Andreev, A. A., Gorban', V. F., Krapivka, N. A., Stolbovoi, V. A., Serdyuk, I. V., Fil'chikov, V. E. (2012) Reproducibility of the single-phase structural state of the multielement high-entropy Ti–V–Zr–Hf system and related superhard nitrides formed by the vacuum-arc method. Technical Physics Letters, Vol. 38, № 7, 616–619. 6. Sobol', O. V., Andreev, A. A., Grigoriev, S. N., Gorban', V. F., Volosova, M. A., Aleshin, S. V., Stolbovoi, V. A. (2012) Effect of high-voltage pulses on the structure and properties of titanium nitride vacuum-arc coatings. Metal Science and Heat Treatment, Vol. 54, Issue 3-4, 195–203. 7. Sobol', O. V., Andreev, A. A., Grigoriev, S. N., Gorban', V. F., Volosovo, M. A., Aleshin, S. V., Stolbovoi, V. A. (2011) Mechanical properties and stress state of the structure of the vacuum-arc TiN-coatings deposited at high voltage pulses is applied to the substrate

during the deposition. Problems of Atomic Science and Technology, №4 (98), 174-177. **8.** Andreev, A. A., Sablev, L. P., Grigoriev, S. N. (2010). Vacuum-arc coating. Kharkov: KIPT, 317. **9.** Palatnik, L. S., Fuchs, M. J., Kosevich, V. M. (1972) The mechanism of formation and substructure condensed films, 320. **10.** Firstov, S. A., Gorban', V. F., Krapivka, N. A., Pechkovsky, E. P. (2011). Hardening and mechanical properties of high entropy cast alloys. Composites and Nanostructures, № 2, 5 – 20.

Надійшла (received) 13.12.2014

УДК 666.762

О. Б. СКОРОДУМОВА, д-р техн. наук, проф., Национальный университет гражданской защиты Украины, Харьков;

А. Ю. ЛОЗОВСКОЙ, ассистент, УИПА, Харьков;

Е. В. ТАРАХНО, канд. хим. наук, зав. каф., Национальный университет гражданской защиты Украины, Харьков;

Т. Б. ГОНТАР, ст. преп., УИПА, Харьков

ИССЛЕДОВАНИЕ МЕХАНИЗМА ГЕЛЕОБРАЗОВАНИЯ В ГИБРИДНЫХ ГЕЛЯХ КРЕМНЕЗЕМА С ПОНИЖЕННОЙ СКЛОНОСТЬЮ К АГРЕГИРОВАНИЮ

1. Исследовано влияние основных технологических параметров получения на гидрофобизацию поверхности частиц гибридных гелей SiO_2 и склонность их к агрегированию. Изучено влияние технологических особенностей проведения золь-гель перехода на механизм гелеобразования в гибридных гелях системы метилтриэтиоксисилан – тетраэтиоксисилан, в условиях переменного pH. Установлено, что для получения тонких порошков в высокой текучестью и низкой склонностью к агрегированию необходимо проводить коагуляцию готового гидролизата МТЭОС/ТЭОС= 2/1 при pH 9 через 0,5ч. после приготовления.

Ключевые слова: метилтриэтиоксисилан, тетраэтиоксисилан, гидролиз, поликонденсация, механизм гелеобразования, склонность к агрегированию

Введение. Кремнеземистые порошки нашли широкое применение в различных отраслях промышленности. Особенno актуально использование высокодисперсных порошков SiO_2 . Такие порошки с успехом используются в фармацевтической промышленности в качестве наполнителей для таблетированных лекарственных форм и саше (различные аэросили), сорбентов (гели поликремниевой кислоты и порошковые ксерогели SiO_2), а также наполнителей стоматологических композиционных материалов (аморфный SiO_2 , кварцевые, кристобалитовые порошки, аэросили различных марок) [1-3].

Основными показателями качества этих порошков являются: чистота, высокие дисперсность и текучесть, пониженная электризуемость. Первое, самое важное качество – чистота – диктует выбор золь-гель технологии, позволяющей не загрязнять исходные чистые компоненты в процессе их переработки.

На сегодняшний день экономически обоснована необходимость разработки технологии кремнеземистых порошков с заданными физико-химическими и физико-механическими свойствами полифункционального назначения.

Заданный фазовый состав и высокую дисперсность наиболее легко получать из кислых гелей этилсиликата [4]. Форма частиц порошка программируется

© О. Б. СКОРОДУМОВА, А. Ю. ЛОЗОВСКОЙ, Е. В. ТАРАХНО, Т. Б. ГОНТАР, 2014